

بِسْمِ اللَّهِ الرَّحْمَنِ الرَّحِيمِ

جامعة وادي النيل

كلية الهندسة والتقنية

قسم الهندسة الميكانيكية

مشروع تخرج كمطلوب تكميلي لنيل درجة الدبلوم في الهندسة الميكانيكية

بمعنوان:

أعداد وتشغيل جهاز ضاغط الهواء ذو المرحلتين

بمعمل الآلات الحرارية وأجراء الاختبارات عليه

TWO STAGE AIR COMPRESSOR

إعداد:

D97053 1/ مروان تاج السر محمد العطا

D97086 2/ محمد عطا المنان محمد هارون

D97097 3/ طارق بشير سليمان محمد

إشراف الأستاذ:

اسامة محمد المرضي

يناير 2001



المحتوى

رقم الصفحة	المحتويات	متسلسل
i	إهداء	
ii	شكر وعرافان	
iii	ملخص	
	الفصل الأول	
1	المقدمة	1-1
2	التمهيد	1-2
	الفصل الثاني	
4	تعريف الجهاز	2-0
4	الوصف العام	2-1
5	بيانات فنية	2-2
6	دورة الهواء	2-3
6	الترميز	2-4
9	خلفية نظرية	2-5
11	أساليب القياسات	2-6
	الفصل الثالث	
13	خطوات الاختبار وتوجيهات التشغيل	3-0
13	قبل التدوير	3-1
13	خطوات بداية التدوير	3-2
13	خطوات الاختبار	3-3
15	الإيقاف	3-4
15	المطلوبات	3-5

رقم الصفحة	المحتويات	متسلسل
	الفصل الرابع	
17	النتائج المختبرية	4-0
17	ضاغط ذو مرحلتين بدون تبريد	4-1
19	ضاغط ذو مرحلتين بتبريد بيني	4-2
21	ضاغط ذو مرحلتين بتبريد بعدي	4-3
23	ضاغط ذو مرحلتين بتبريد بيني وبعدي	4-4
	الفصل الخامس	
26	عينة من الحسابات	5-0
	الفصل السادس	
29	تحليل النتائج المختبرية	6-0
	الفصل السابع	
32	التوصيات	7-1
33	الخاتمة	7-2
34	ملحق الجداول	
38	ملحق الرسومات البيانية	
40	ملحق الرسومات التوضيحية	
44	المراجع	

الإهداء

إلى أسرنا الكريمة..
إلى عطيرة .. المدينة الوطن..
إلى روح المقيم فينا.. القidal باكر فالح..
إلى كل رائع يعشق الترحال في درب الأمل ..
أحبيناكم أكثر..
حبا محفورا فينا..
كنقوش الأهرامات النوبية..
كشقوق الأرض..
كأصالة شيخ مضياف..
أحسنا بالنشوة والدفء الفاتر والمتعة..
فتمددنا ..
نجر النم .. ونجهش بالدوييت .. وباللوعة..
وإذ نحن نخلق هذه الليلة كالسحب ..
ونهطل كالثلج..
وكالأمطار علي الأسوار..
نتمتم لله الحمد ..
إذ نعلم أنا لسنا مقطوعين الليلة من شجرة..

المنفذون



شكر وافتخار

نرجي أسمي أيات الشكر والعرفان لامرأة كلية الهندسة عطيره لنا
وجدناه من كريم تعاونهم في كل الصعوبات التي واجهتنا أثناء فترة
وجودنا بينهم ولما حسناهم فيهم من روح طيبة وتراياحكي عن عظمة هذا
الصرح الشامخ فليهم منا كل الود والاحترام. والشكر بالاحدود للأستاذ الرائع
أسامة محمد المرزوقي الذي لم يتوانى في تقديم العون والمساعدة
وكان لوجوده عظيم الفضل في تسهيل مهمتنا وإخراج هذا العمل بالصورة
الملائمة فله منا باقة من المشاعر الطيبة منته الله بالصحة وإدامه زخراً للعلم
وطلايه.

ملاحق

يتم هذا المشروع بإعداد وتشغيل جهاز ضاغط الهواء الموجود بمعمل الآلات الحرارية بكلية الهندسة والتقنية جامعة وادي النيل وإجراء الاختبارات عليه .

يتكون هذا التقرير من سبعة فصول ، الفصل الأول يحتوي على مقدمة وتمهيد عن الضواغط وطريقة عملها واستخداماتها.

أما الفصل الثاني فهو عبارة عن وصف للجهاز ومكوناته ودورة الهواء فيه ودورة ماء التبريد وتوضيح رموز القراءات والمعادلات الرياضية المستخدمة في الاختبارات .

الفصل الثالث يحتوي على خطوات التشغيل وكيفية إجراء الاختبارات . أما الفصل الرابع فيحتوي على النتائج المختبرية التي تم الحصول عليها من خلال الاختبارات التي تمت على الجهاز .

وفي الفصل الخامس تم اختيار عينة من الاختبارات وعرضها كنموذج للحسابات التي يتم إجراؤها في كل اختبار .

الفصل السادس يحتوي على تحليل للنتائج التي تم الحصول عليها . أما الفصل السابع فيكون من بعض التوصيات وخاتمة للتقرير .

وفي نهاية التقرير توجد ملاحق للرسمات التوضيحية والبيانية وجدول القراءات والمراجع التي تم الاستفادة منها .

الفصل الأول

1-2 تمهيد

الهواء المضغوط ذو استخدامات واسعة وسهل الانتقال مقارنة بالبخار ، الغرض من الضواغط عامة هو سحب كمية معينة من الغاز (فى الغالب هواء) وضغطها بدرجة الضغط المطلوب .

هنالك نوعان من الضواغط دورانية وترددية ، نجد أن الضواغط الترددية ضغطها على والانسياب فيها ضئيل ويمكن أن تكون مفردة أو متعددة المراحل ذات اتجاه واحد أو اتجاهين وتبريدها مائى أو هوائى كما ان ضغطها غير منتظم ، أما الدورانية فضغطها ضئيل والانسياب فيها على .

الضاغط عموماً هو الآلة التى تقوم بضغط الغازات المختلفة ، وتستخدم الضواغط فى مختلف مجالات الصناعة المعاصرة على نطاق واسع ، فهى تستخدم فى الصناعات الكيماوية والصناعات التعدينية وعلى الخطوط الحديدية وفى الطيران والمحطات التوربينية الغازية وفى الصناعات الغذائية (البرادات) وفى نظافة الماكينات .

تقسم الضواغط من حيث تصميمها ومبدأ عملها الى مجموعتين :-

1- الضواغط المكبسية " الترددية "

2- الضواغط الريشية " الطاردة المركزية "

وبغض النظر عن اختلاف مبادئ ضغط الغازات فى الضواغط والتصميمات المختلفة فان عمليات الضغط فى جميعها واحدة من الناحية التيرموديناميكية اذ توصف العمليات فى ضواغط بنفس المعادلات لذلك ، ولدراسة وتحليل العمليات التى تجرى فى أى آلة لضغط الغازات يكفى أن ندرس كيفية عمل ابسطها وهو الضاغط المكبسى الترددي

أنواع الضواغط الترددية :-

(i) أحادى المرحلة :-

يتألف هذا الضاغط من أسطوانة جدرانها مجوفة لكى يدور ماء التبريد فيها ، ومكبس موصول بالية مع محرك كهربائى أو مصدر آخر للتشغيل الميكانيكى ويحتوى غطاء الاسطوانة على صمامين ، صمام ماص (سحب) وصمام حاقن (طرد) ومن أهم ما يميز هذا النوع من الضواغط ضغطها العالى وامكانية تعدد المراحل .

(ii) ثنائية المرحلة :-

طريقة عملها :-

ينساب الهواء خلال شوط السحب من الاسطوانة ذات الضغط المنخفض بضغط منخفض (P_1) ودرجة حرارة (T_1) وبعد عملية الانضغاط الاولى يدخل الهواء الى المبرد بضغط (P_2) قبل وصوله الى مرحلة الضغط الثانية واذا كانت درجة الحرارة الخارج من المبرد (T_2) تساوى درجة الحرارة الابتدائية للهواء (T_1) فإن التبريد يسمى تبريد مثالي ، ومن المبرد يدخل الهواء الى اسطوانة الضغط العالي لمرحلة الضغط الثانى حيث يتم ضغطه الى الضغط المطلوب (P_3) .

الفصل الثاني

2-0 تعريف الجهاز

2-1 الوصف العام :-

الماكينة موضحة في الشكل رقم (1) بملحق الرسومات التوضيحية يتكون الجهاز من وحدتين كل وحدة لها ديناموميتر خاص بها احدهما تمثل مرحلة الضغط المنخفض والآخرى مرحلة الضغط العالي ، وهذا يسمح بتغيير نسب الحجم للمرحلتين وبالتالي الضغط الوسيط ، بينما يمكن اختبار كل وحدة على حدة .

لكلا المرحلتين اسطوانتان للتبريد الهوائى من تصنيع [Broom and Wade] ويتم ترتيبهما بحيث أن المخططات البيانية يمكن أخذها . المرحلة الاولى مجهزة بحاكم هواء أوتوماتيكي وترس عدم تحميل ، أحجام الخلوص يمكن تغييرها بحشر أو شاش إضافية .

وحدة ضاغط المرحلة الاولى يتم ادارته بموتور تيار متردد (AC. Motor) والمرحلة الثانية بموتور تيار مباشر متغير السرعة كلاهما محمول على محور ارتكاز (Trunnions) بميزان زبركى لقياس رد فعل العزم .

كل ديناموميتر يتم تزويده بمحول بصرى (Optical Transducer) يعطى خرجا مقداره نبضتين في اللفة ، الذى يتم تغذيته بواسطة مفتاح تغيير الى التاكوميتر الرقمى ، وهما مزودان بمقاومات على التوالي فى الدوائر المولدة لتغيير السرعة . تتم ادارة كل ضاغط بواسطة سير مطاطى مسنن . طارة الادارة محمولة على محامل كروية على عمود متصل من الاطار الطرفى للديناموميتر ، الادارة النهائية للضاغط تكون خلال قارنسة قرصية ، وهى ترتيبية لتجنب تطبيق عزم انحناء اضافى على عمود الضاغط .

الديناموميترات تسمح بقياس القدرة اللازمة لادارة كل مرحلة للضاغط ، الفولتميترات والاميترات تعطى القدرة الكهربائية التى يتم امدادها الى الموتور التى منها يتم معرفة الكفاءات .

يدخل الهواء الى المرحلة الاولى التى تعمل على ضغطه الى ضغط وسيط ، وذلك بواسطة ثقب دائرى حاد الحافة فى جانب خزان هواء بسعة كافية لتتعميم نبضات الانسياب ، يتم مراقبة الضغط عبر الثقب بواسطة مانوميتر مائل يسمح بحساب معدل انسياب الهواء .

بعد التصريف من المرحلة الاولى يمر الهواء الى المبرد البينى (Intercooler) الذى يعمل كمستقبل وسيط فيه يتم استخلاص الحرارة بدورة الماء ، من المبرد البينى يمر الهواء الى المرحلة الثانية ومنها خلال مبرد بعدى (Aftercooler) الى المستقبل (Receiver) . بعد المستقبل يمر الهواء الى الجو خلال ماسورة مزودة بصمام اختناق وفوهة (I.S.A) عبرها

يتم مراقبة انخفاض الضغط بواسطة مانوميتر مائل يعطى وسيلة ثانية لقياس معدل انسياب الهواء خلال المنظومة ، ضغط التصريف والضغط الوسيط يتم بيانها بمقاييس ضغط .
 هنالك امداد لماء التبريد في كل حالة يتم التحكم فيه بواسطة صمام منفصل لاستخدامها في المبرد البينى والمبرد البعدى ، معدل انسياب الماء يقاس بواسطة فلوميتر (Flowmeter)
 بينما يتم قياس درجة حرارة ماء التبريد قبل وبعد كل عنصر بواسطة ثيرموميتر زئبقى .
 هذا التركيب تم تصميمه لاعطاء مدى واسع للمرونة في الاختبارات التي يمكن تنفيذها ، لذلك تم تزويد نظام المواسير بصنابير ثلاثية الاتجاه للسماح باستبعاد المبرد البينى أو المبرد البعدى أو الاثنان معاً من الدائرة بالاضافة الى ذلك يمكن تعطيل المرحلة الثانية بحيث انه يمكن اختبار المرحلة الاولى بانفراد بالهواء المضغوط الذي يمر خلالها الى المستقبل .

2-2 بيانات فنية :-

المرحلة الاولى :-

عدد الاسطوانات	2
القطر الداخلى للاسطوانة [Bore]	101.6mm
طول الشوط [Stroke]	101.6mm
الحجم المكتسح	1.647 L
مدى السرعة	(300 الى 500 لفة في الدقيقة)
ضغط التصريف الاقصى	1000 KN/m ²
نسبة السرعة <u>الموتور</u>	3 : 1
الضغوط	
كفاءة إدارة السيور	0.98

المرحلة الثانية :-

عدد الاسطوانات	2
القطر الداخلى للاسطوانة [Bore]	66.7 mm
طول الشوط [Stroke]	63.5 mm
الحجم المكتسح	0.444 L
مدى السرعة	(300 إلى 500 لفة في الدقيقة)
ضغط التصريف الاقصى	1500 KN/m ²
نسبة السرعة <u>الموتور</u>	3 : 1
الضغوط	(5)

0.98	كفاءة ادارة السيور
7 KW	استهلاك القدرة الاقصى
150 L/h	الانسحاب الاقصى لماء التبريد
[F-A-Dmax] 700 L/min	تصريف الهواء الطليق الاقصى
425 L	حجم المستقبل (المستودع)

2-3 دورة الهواء : The air circuit

موضحة في الشكل رقم (2) بملحق الرسومات التوضيحية ص (41) ضاغط المرحلة الاولى يسحب الهواء من خلال الثقب الدائرى حاد الاطراف وخزان الهواء من ضاغط المرحلة الاولى فان الهواء أما أن يمر خلال المبرد البيني أو أن يتخطاه ليمر حوله وذلك اعتماداً على وضع الصمام (A) اذا تم استخدام المرحلة الثانية فأن تصريف الهواء يكون اما مباشرة الى المستقبل (Receiver) أو عن طريق المبرد البعدى وايضاً الى المستقبل اعتماداً على وضع الصمام (B) يتم تفريغ الهواء من المستقبل بواسطة صمام الاختناق الى فوهة الـ I.S.A مقاييس الضغط تبين الضغوط بعد المرحلة الاولى وفى المستقبل . أما المانوميترات المائلة تبين فروقات الضغط عبر الثقب الحاد الحافة وعبر فوهة الـ I.S.A . بينما التيرموميترات الزئبقية فى جيوب الزيت تبين درجات حرارة الهواء عند نقاط متباينة فى الدائرة .

2-4 ترميز (Notation) :-

ص (41) الضغط ودرجات الحرارة المتباينة ذات الاهمية يتم تبينها فى الشكل [2] ويتم كتابتها أدناه . يستخدم النظام الدولى للوحدات فى الحسابات :- (S.I)

الضغوط :-

PA	KN/m ²	الضغط الجوى
P ₁	KN/m ²	الضغط عند مدخل الضاغط
P ₂	KN/m ²	الضغط عند مخرج المرحلة الاولى
P ₃	KN/m ²	الضغط عند المستقبل أو مخرج المرحلة الثانية
P ₁	KN/m ²	الضغط البيانى الفعال المتوسط للمرحلة الاولى
P ₂	KN/m ²	الضغط البيانى الفعال المتوسط للمرحلة الثانية

- فروقات الضغط :

ho mm H₂O عبر الثقب الحاد الحافة
(6)

عبر فوهة الـ I.S.A $hn \text{ mm H}_2\text{O}$

- درجات حرارة الهواء :-

TA K	درجة حرارة الجو
T ₁ K	درجة حرارة مدخل ضاغط المرحلة الاولى
T ₂ K	درجة حرارة مخرج ضاغط المرحلة الاولى
T ₃ K	درجة حرارة مدخل ضاغط المرحلة الثانية
T ₄ K	درجة حرارة مخرج ضاغط المرحلة الثانية
T ₅ K	درجة حرارة المبرد البعدى - مدخل المستقبل
T ₆ K	درجة حرارة المستقبل
T ₇ K	درجة حرارة فوهة الـ I.S.A

كتل الهواء :-

$m_0 \text{ kg/s}$	سحب الهواء بواسطة الثقب الحاد الحافة
$m_n \text{ kg/s}$	تفريغ الهواء بواسطة فوهة الـ I.S.A
$m \text{ kg/s}$	معدل انسياب الهواء المتوسط

- درجات معدل ماء التبريد :-

عند مدخل التبريد $T_8 \text{ K}$

عند مخرج المبرد البينى $T_9 \text{ K}$

عند مخرج المبرد البعدى $T_{10} \text{ K}$

- كتل ماء التبريد :-

عند المبرد البينى $m_1 \text{ kg/s}$

عند المبرد البعدى $m_2 \text{ kg/s}$

- فقودات الحرارة (Heat Losses) :-

من ضاغط المرحلة الاولى $Q_1 \text{ watts}$

بين المرحلة الاولى والثانية $Q_2 \text{ watts}$

من ضاغط المرحلة الثانية $Q_3 \text{ watts}$

بعد المرحلة الثانية $Q_4 \text{ watts}$

الزيادة الاجمالية فى المحتوى الحرارى (Enthalpy) $Q_5 \text{ watts}$

قودات اخرى Q watts

- مدخلات القدرة :-

W_1 watts	المرحلة الاولى - ميكانيكية
\bar{W}_1 watts	المرحلة الاولى - بيانية
W_2 watts	المرحلة الثانية - ميكانيكية
\bar{W}_2 watts	المرحلة الثانية - بيانية

- المحتويات الحرارية :- (Enthalpies)

h_1 J/kg	الهواء عند مدخل المرحلة الاولى
h_2 J/kg	الهواء عند مخرج المرحلة الاولى
h_3 J/kg	الهواء عند مدخل المرحلة الثانية
h_4 J/kg	الهواء عند مخرج المرحلة الثانية
h_5 J/kg	الهواء عند مخرج المبرد البعدى

- سرعات الدوران (Rotational Speeds) :-

N_1 rev/min	ديناموميتر المرحلة الاولى
N_2 rev/min	ديناموميتر المرحلة الثانية

- خواص الهواء :-

ثابت الغاز $R = 0.287 \text{ KJ/kgk}$

الحرارة النوعية عند الضغط الثابت $CP = 1.005 \text{ KJ/kgk}$

- الحرارة المكتسبة بواسطة الماء :-

Q_6 watts

Q_7 watts

2-5 خلفية نظرية Theoretical Background :

إنضغاط الهواء أو أي غازات أخرى هو مثال مستقر الانسياب والمنظومة الديناميكية الحرارية موضحة في الشكل [3(a)]. بملحق الرسومات التوضيحية ص (42). طاقة الانسياب المستقرة تكون كآلاتي:-

$$m(h_b-h_a) = w - Q \text{ ----- (1)}$$

حيث h_b, h_a هما المحتويات الحرارية النوعية للهواء الداخل والمغادر للمنظومة علي التوالي , بينما Q, w هما علي الترتيب معدل شغل الدخل ومعدل الفقد الحراري من المنظومة , من المستحسن كتابة المعادلة بدلالة المعدل لكل ثانية عندما تظهر Q, w بال watts.

للإنضغاط ثابت الحرارة بين الحدود P_1, P_3 بدرجة الحرارة الأولية T_1 :

$$W_{iso} = Q = m' R T_1 \log(P_3/P_1) \text{ ----- (2)}$$

هذه المعادلة تمثل الحالة المثالية التي عادة ما يتم بها مقارنة الأنضغاط الحقيقي. منظومة الديناميكا الحرارية للضاغط ثنائي المرحلة موضحة في الشكل { 3a } في ملحق الرسومات التوضيحية . ص (42) .

معادلة الانسياب المستقر هي :

$$m(h_5-h_1) = W_1 + W_2 - Q_1 - Q_2 - Q_3 - Q_4 - Q \text{ ----- (3)}$$

مخطط درجة الحرارة (القصوربي الحراري) للإجراء موضح بالشكل { 4 } في ملحق الرسومات التوضيحية . ص (42) .

حيث أن درجات الحرارة والضغوط المتباعدة تمتلك المعاني المعطاة تحت الترميز. الإجراءات التي تجري في الماكينة يتم وصفها بالرجوع إلي هذا الشكل. وارتباط الكميات المقاسة المختلفة بالقيم المحسوبة المؤسسة علي هذا التحليل سيتم امتحانها. الخط T_1, T_2 في الشكل { 4 } في ملحق الرسومات التوضيحية يمثل المرحلة الأولى للإنضغاط. إذا افترضنا أن هذا الإجراء متعدد الانحناء لا احتكاكي فيمكن حساب أس الأنضغاط :

$$T_2/T_1 = (P_2/P_1)^{n-1/n} \text{ ----- (4)}$$

$$\bar{W}_1 = (m' n/n-1) R (T_2-T_1) \text{ ----- (5)}$$

زيادة المحتوي الحراري للهواء:

$$m(h_2-h_1) = m' C_p (T_2-T_1) \text{ ----- (6)}$$

ومن تطبيق المعادلة (1) فإن الحرارة المفقودة في الهواء :

(9)

$$Q_1 = \bar{W}_1 - m' Cp (T_2 - T_1) \text{-----}(7)$$

الخط T_2, T_3 يمثل الإنتقال من المرحلة الأولى إلى المرحلة الثانية. فقد الحرارة خلال هذا الإجراء يعطي بالمعادلة :

$$Q_2 = m' Cp(T_2 - T_3) \text{-----} (8)$$

الخط T_3, T_4 يمثل المرحلة الثانية للإبضاغ والمعادلات التالية مكافئة من (4)

إلى (7) يمكن تطبيقها :

$$T_4/T_3 = (P_3/P_2)^{n-1/n} \text{-----} (9)$$

$$\bar{W}_2 = (m' n/n-1) R(T_4 - T_3) \text{-----} (10)$$

$$m' (h_4 - h_3) = m' Cp(T_4 - T_3) \text{-----} (11)$$

$$Q_3 = W_2 - m' Cp (T_4 - T_3) \text{-----} (12)$$

الخط T_4, T_5 يمثل التبريد الذي يتم بعد المرحلة الثانية و قبل التيرمومترات في خط

المواسير إلى المستقبل :

$$Q_4 = m' Cp(T_4 - T_5) \text{-----} (13)$$

أخيرا ، الزيادة في المحتوى الحراري للهواء الإجمالي :

$$Q_5 = m' Cp(T_5 - T_A) \text{-----} (13a)$$

الشغل البياني النظري \bar{W}_2, \bar{W}_1 الذي يتم حسابه من المعادلات (5), (10) يمكن مقارنتها

مع ذلك من مخططات البيان :

$$\bar{W}_1 = \bar{P}_1 \bar{V}_1 N/3 \text{-----} (14)$$

$$\bar{W}_2 = \bar{P}_2 \bar{V}_2 N/3 \text{-----} (15)$$

أسس الأنضغاط المحسوبة من المعادلات (4) و (9) يمكن بالمثل مقارنتها مع تلك التي يتم

قياسها مباشرة من مخطط البيان برسم منحنى :

$$PV^n = \text{Constant}$$

إلى خط الأنضغاط .

عندما يكون المبرد البيني والمبرد البعدي في الدائرة، فإن انتقال الحرارة إلى ماء التبريد

يمكن حسابه من :

$$Q_6 = 4187m_1(T_9 - T_8) \text{-----} (16)$$

للمبرد البيني.

$$Q_7 = 4187m_2(T_{10} - T_8) \text{-----} (17)$$

للمبرد البعدي .

انتقال الحرارة خلال الضواغظ تكون معقدة . وفقودات الحرارة من الماكينات لا تشمل

فقط على تلك المقابلة للمعادلات (7), (12) المشتقة مباشرة من الهواء ولكن على تلك

المقابلة للفرق بين دخل القدرة الميكانيكية وخرج القدرة البيانية. هذا الفرق بالطبع يمثل

فقودات ميكانيكية في الماكينة.

كفاءات مختلفة متعددة يمكن التعرف عليها :

a/ كفاءة ثابت درجة الحرارة البيانية = الشغل ثابت درجة الحرارة من المعادلة (2)
الشغل البياني من المعادلات (14), (15)

b/ كفاءة ثابت درجة الحرارة الإجمالية = الشغل ثابت درجة الحرارة من المعادلة (2)
الدخل الكهربائي

c/ الكفاءة الميكانيكية = الشغل البياني من المعادلات (5), (10)
دخول القدرة الميكانيكية

d/ كفاءة موتورات الإدارة = خرج القدرة الميكانيكية
الدخل الكهربائي

أخيرا لاحظ انه يمكن إثبات أن للكفاءة القصوى :

$$P_2 = \sqrt{P_1 P_3} \text{ ----- (18)}$$

2-6 أساليب القياسات : Methods of measurements :-

a/ الدخل الكهربائي :

لكل ماكينة يمكن إعطاؤه كالاتي :

$$W_E = E I \text{ ----- (19)}$$

حيث :

E \equiv الفولتية المطبقة إلى الماكينة

I \equiv التيار بالأمبير

b/ الخرج الميكانيكي للموتور :

$$W_m = FN/ K \text{ ----- (20)}$$

حيث :

F \equiv حمل الفرملة بلا

N \equiv سرعة الموتور بال rev/min

K \equiv ثابت الجهاز

c/ قدرة الدخل للضاغط :

$$W_1, W_2 = 0.98 W_m \text{ ----- (21)}$$

d/ كمية الهواء :

$$m_o = 0.001232 d_o^2 \sqrt{h_o P_A / T_A} \text{ ----- (22)}$$

(11)

حيث :

قطر الثقب الحاد الحافة بالـ $d_0 \equiv \text{mm}$
لفوهة I.S.A. يتم تطبيق معادلات مشابهة لكن معامل التصريف بدل أن يكون 0.6 كما الثقب
حاد الحافة سيكون 0.98 , وهذا سينتج :

$$m_n = 0.00020102 d_n^2 \sqrt{h_n P_n / T_7} \text{-----} (23)$$

هناك معالجة تفصيلية للانسياب خلال الفوهة يعطي بالمعيار البريطاني الذي ينص علي:
1964:part1:1042, أساليب قياس انسياب المائع في المواسير يمكن الحصول عليها من
المؤسسة البريطانية للمعايير .

: NOTES

- 1/ بعيداً عن التسريب يجب أن تتساوى كمية الهواء المقاسة عند المدخل مع كمية الهواء المقاسة عند التفريغ . الأولي من المحتمل أن تكون الأكثر دقة مالم يكون هناك اهتمام كبير لضمان أن ضغط المستقبل ثابت .
- 2/ ننوه إلي أنه تم إلغاء القراءات والنتائج المتعلقة بالراسمة البيانية وذلك بسبب عدم توفرها مع ملاحظة أن نفس المعاملات يمكن تحليلها بواسطة المعادلات الحسابية الخاصة بها .

الفصل الثالث

3-0 خطوات الاختبار وتوجيهات التشغيل

3-1 قبل التدوير :-

1. تأكد من صفرية المانوميترات المائلة
 2. املا جيوب النيرموميترات بالزيت
 3. صرف الماء المتكاثف من المبرد البيئي ، المبرد البعدي والمستقبل
- #### 3-2 خطوات بداية التدوير :

1. أضبط الصمامان A و B لتعطي حالة التشغيل المرغوبة .
2. أضبط انسياب ماء التبريد لاعطاء قراءات لحوالي نصف التدرج على مقاييس الانسياب (Flowmeters) .
3. شغل ذراع الاختبار (Decompressor lever) على ضاغط المرحلة الاولى .
4. أضبط متحكم السرعة الى الأقصى ^{الوضع} Max .
5. أولا دور مرحلة الضغط العالي بالتشغيل البطيء للبادئ وبعد ذلك مرحلة الضغط المنخفض بتشغيل بادئ الـ Star - Delta
6. عندما يقترب ضغط المستقبل من القيمة المرغوبة افتح بالتدرج صمام الاختناق . Setting الوضع الصحيح لصمام الاختناق لاعطاء ضغط مستقبل ثابت سيعطى بالتقريب نفس هبوط الضغط عبر فوهة المعيار البريطاني كما سيعطيه عبر ثقب المدخل
7. ضغوط التصريف القصوى :-

المرحلة الأولى 1000 kN/m^2

المرحلة الثانية 1500 kN/m^2

لتشغيل التاكوميتر - اضبط مفتاح النبضات لكل لفة على الجهاز السى (2) ومفتاح الوظيفة الى

- (Tacho) . لضبط سرعة ضاغط المرحلة الثانية ، اضبط مفتاح up - dating السى (1) .
سيعرض الجهاز عندها up - dating rev/min كل ثانية واحدة . عند قياس السرعة لضبط العزم ، اضبط مفتاح up - date السى (10) . سيعرض الجهاز عندها up / min (rev/ dating كل 10 ثواني .

3-3 خطوات الاختبار :-

اضبط سرعات الماكينات وضغط المستقبل للقيم المرغوبة وشغل على اقل لمدة 30 دقيقة للحصول على حالات مستقرة قبل أخذ النتائج . يجب أن يكون هنالك شخصاً عند صمام الاختناق ، يعمل ضبوطات صغيرة دورية لضمان ثبات ضغط المستقبل . بينما يقوم طالب واحد باداء اختبار

كامل يمكن استخدام مجموعات كبيرة ، ولكن وجد أن مجموعة من خمسة أفراد يمكن أن تؤدي

الواجبات التالية بصورة ملائمة :-

الطالب الاول :- يتحكم في ضغط المستقبل

ويسجل :

a- ضغط المرحلة البينى P_2 KN/m²

b- ضغط المستقبل P_3 KN/m²

c- سمث مدخل الثقب ho cm H₂O

d- سمث فوهة الـ I.S.A h_n cm H₂O

الطالب الثانى :

يسجل درجات حرارة الهواء

a- الجو T_A K

b- مدخل المرحلة الاولى T_1 K

c- مخرج المرحلة الاولى T_2 K

d- مدخل المرحلة الثانية T_3 K

e- مخرج المرحلة الثانية T_4 K

f- مخرج المبرد البعدى T_5 K

g-الخزان المستقبل T_6 K

n- بعد فوهة الـ I.S.A T_7 K

الطالب الثالث :-

ديناموميتر المرحلة الاولى

يسجل :

a- السرعة (rev/min)

b- عزم الفرملة .

c- الفولت .

d- الامبير .

الطالب الرابع :-

ديناموميتر المرحلة الثانية

يسجل :

a- السرعة (rev/min)

b- عزم الفرملة .

c- الفولت .

(14)

-d الامبير .

الطالب الخامس :- يسجل احوال ماء التبريد

a- مقياس انسياب المبرد البينى . $m_1 \text{ L/s}$

b- مقياس انسياب المبرد البينى . $m_2 \text{ L/s}$

c- درجات حرارة ماء التبريد قبل وبعد كل من هذه الوحدات .

على الاقل يجب أن تؤخذ ثلاثة قراءات لكل حالة تشغيل ويتم مقارنتها لضمان الوصول لحالات مستقرة . بعد تغيير أى متغير يجب تشغيل الماكينة على الاقل 20 دقيقة قبل أخذ القراءات . مخططات البيان يجب أخذها خلال كل اختبار .

متغيرات عديدة مختلفة يمكن التحقق منها بالماكينة ذات المرحلتين . الاختبارات الاعظم توجهاً هي ربما مقارنة الاداء للماكينة بـ أو بدون المبرد البينى والمبرد البعدى فى الخدمة وسلسلة من الاختبارات بثبوت ضغط التصريف عند قيمته القصوى ، لكن بتغيير الضغط البينى (Inter stage Pressure) . هذا التغيير يمكن انجازه بصورة أفضل وذلك بأخذ اختبار اولى يجعل كلا الماكينتين تدوران عند سرعة قصوى ثم بعد ذلك خفض سرعة ماكينة الضغط العالى لرفع الضغط البينى ، تبعاً لذلك ارجاع هذه الماكينة الى السرعة القصوى وخفض سرعة وحدة المرحلة الاولى لخفض الضغط البينى . عند زيادة السرعة يمكن من الضرورى امسك يد البادىء (Starter Handle) لمنع السقطة نتيجة للتيار العارم (to prevent tripping due to current surge) .

3-4 الايقاف :- (Shutting Down Drain)

عند الايقاف ، صرف الماء المتكاثف من المبرد البينى ، المبرد البعدى ، المستقبل وماسورة التفريغ . أغلق ماء التبريد ، اضبط متحكمات السرعة لتكون جاهزة للتدوير المتتابع ، اضبط ذراع اعتاق انضغاط المرحلة الاولى .

3-5 المطلوبات :

1. مطلوب تحديد اداء الماكينة عندما يتم التشغيل عند سرعة معينة كما يلى :-

i ضاغط ذو مرحلتين بدون تبريد .

ii ضاغط ذو مرحلتين بتبريد بينى .

iii ضاغط ذو مرحلتين بتبريد بعدى .

iv ضاغط ذو مرحلتين بتبريد بينى وبعدى .

2. بأخذ ضغط التصريف كاحداثى افقى مطلوب رسم المنحنيات التالية لكل تجربة :-

i القدرة الفرملية لموتورى المرحلتين Wm_1, Wm_2

ii القدرة البيانية لضاغطين المرحلتين \bar{W}_1, \bar{W}_2

iii كفاءة ثابت درجة الحرارة البيانية η_{iso} (15)

iv كفاءة ثابت درجة الحرارة الاجمالية $\eta_{iso} (o/A)$

v الكفاءة الميكانيكية لموتوري وضاعطي المرحلتين $\eta_{mech/comp_1, mech/comp_2}$
 $\eta_{mech/Dyn1, mech/Dyn2}$

الفصل الرابع

4-0- النتائج المختبرية : من (34) و(35) و(36) و(37)

تم اخذ القراءات كما هو موضح في ملحق الجدول أحسب الأوضاع الآتية على الجهاز :

1-1 ضاغط ذو مرحلتين بدون تبريد : Two stage compressor without cooling :
الدخل الكهربائي :

المرحلة الأولى :

$$W_{E1} = 4 \text{ Kw}$$

المرحلة الثانية :

$$W_{I2} = 3.3 \text{ Kw}$$

الخرج الميكانيكي للموتور :

المرحلة الأولى :

$$W_{m1} = 3.11 \text{ Kw}$$

المرحلة الثانية :

$$W_{m2} = 3.12 \text{ Kw}$$

قدرة الدخل للضاغط :

المرحلة الأولى :

$$W_1 = 3.046 \text{ Kw}$$

المرحلة الثانية :

$$W_2 = 3.1 \text{ Kw}$$

كمية الهواء المسحوب عبر الثقوب حاد الحافة :

$$d_o = 30 \text{ mm}$$

$$h_o = 13.5 \text{ mm}$$

$$T_A = 305 \text{ k}$$

$$P_A = 101.3 \text{ KN/m}^2$$

$$m_o = 2.35 * 10^{-6} \text{ Kg/s}$$

كمية الهواء المغادر عبر فوهة أس IS 15 :

$$d_n = 25 \text{ mm}$$

$$h_n = 9 \text{ mm}$$

$$T_7 = 313 \text{ K}$$

$$P_3 = 1200 \text{ KN/m}^2$$

$$m_n = 2.1 * 10^{-6} \text{ Kg/s}$$

أس الأنضغاط :

المرحلة الأولى :

$$n = 1.6$$

$n = 1.19$	المرحلة الثانية :
	الشغل البياني النظري :
$\bar{W}_1 = 1.45 \text{ Kw}$	المرحلة الأولى :
$\bar{W}_2 = 2.65 \text{ Kw}$	المرحلة الثانية :
	فقد الحرارة :
$Q_1 = -0.448 \text{ Kw}$	المرحلة الأولى :
$Q_3 = 1.03 \text{ Kw}$	المرحلة الثانية :
	فقد الحرارة بين المراحل :
$Q_2 = 0.71 \text{ Kw}$	بين المرحلة الأولى و الثانية :
$Q_4 = 1.04 \text{ Kw}$	بين المرحلة الثانية و المستودع :
$Q_5 = 1.68 \text{ Kw}$	زيادة المحتوى الحراري الإجمالي للهواء :
	الكفاءات :
$\eta_{iso} = 72\%$	ثابت درجة الحرارة البيانية :
$\eta_{iso(o/A)} = 40\%$	ثابت درجة الحرارة الإجمالية :
$\eta_{mech/comp1} = 47.6\%$	الميكانيكية لضغط المرحلة الأولى :
$\eta_{mech/comp2} = 83.9\%$	الميكانيكية لضغط المرحلة الثانية :
$\eta_{mech/Dyn1} = 77.2\%$	الميكانيكية لموتور المرحلة الأولى :
$\eta_{mech/Dyn2} = 92.4\%$	الميكانيكية لموتور المرحلة الثانية :

الضغط البيئي الأفضل للحصول علي كفاءة قصوى :

$$\bar{P}_2 = 348.7 \text{ KN/m}^2$$

Two stages comp. With inter cooling : 4-2 مرحلتين بتبريد بيئي :

الدخل الكهربائي :

المرحلة الأولى :

$$W_{E1} = 3 \text{ Kw}$$

المرحلة الثانية :

$$W_{E2} = 3.04 \text{ Kw}$$

الخرج الميكانيكي للموتور :

المرحلة الأولى :

$$W_{m1} = 2.94 \text{ Kw}$$

المرحلة الثانية :

$$W_{m2} = 2.9 \text{ Kw}$$

قدرة الدخل للضاغط :

المرحلة الأولى :

$$W_1 = 2.9 \text{ Kw}$$

المرحلة الثانية :

$$W_2 = 2.8 \text{ Kw}$$

كمية الهواء المسحوب عبر الثقب حاد الحافة :

$$d_o = 30 \text{ mm}$$

$$h_o = 19.2 \text{ mm}$$

$$T_A = 308 \text{ k}$$

$$P_A = 101.3 \text{ KN/m}^2$$

$$m_o = 2.8 \cdot 10^{-6} \text{ Kg/s}$$

كمية الهواء المغادر عبر فوهة ألس ISA :

$$d_n = 25 \text{ mm}$$

$$h_n = 15 \text{ mm}$$

$$T_7 = 319.7 \text{ K}$$

$$P_3 = 1200 \text{ KN/m}^2$$

$$m_n = 2.74 \cdot 10^{-6} \text{ Kg/s}$$

أس الأنضغاط :

المرحلة الأولى :

$$n = 1.7$$

المرحلة الثانية :

$$n = 1.3$$

الشغل البياني النظري :

المرحلة الأولى :

$$\bar{W}_1 = 1.3 \text{ Kw}$$

المرحلة الثانية :

$$\bar{W}_2 = 2.3 \text{ Kw}$$

فقد الحرارة :

المرحلة الأولى :

$$Q_1 = -0.66 \text{ Kw}$$

المرحلة الثانية :

$$Q_3 = 0.42 \text{ Kw}$$

فقد الحرارة بين المراحل :

بين المرحلة الأولى و الثانية :

$$Q_2 = 1.8 \text{ Kw}$$

بين المرحلة الثانية و المستودع :

$$Q_4 = 0.68 \text{ Kw}$$

زيادة المحتوى الحراري الإجمالي للهواء :

$$Q_5 = 1.35 \text{ Kw}$$

كمية الحرارة المكتسبة بواسطة الماء في المبرد البيئي :

$$Q_6 = 0.76 \text{ Kw}$$

الكفاءات :

ثابت درجة الحرارة البيانية :

$$\eta_{iso} = 80\%$$

ثابت درجة الحرارة الإجمالية :

$$\eta_{iso(o/A)} = 48\%$$

الميكانيكية لضغط المرحلة الأولى :

$$\eta_{mech/comp1} = 44.8\%$$

الميكانيكية لضغط المرحلة الثانية :

$$\eta_{mech/comp2} = 82.1\%$$

الميكانيكية لموتور المرحلة الأولى :

$$\eta_{mech/Dyn1} = 98\%$$

(20)

الميكانيكية لموتور المرحلة الثانية :

$$\eta_{\text{mech/Dyn2}} = 95.4\%$$

الضغط البيئي الأفضل للحصول علي كفاءة قصوى :

$$\bar{P}_2 = 348.7 \text{ KN/m}^2$$

4-3 ضاغط ذو مرحلتين بتبريد بعدي : Two stages comp. With after cooling :

الدخل الكهربائي :

المرحلة الأولى :

$$W_{E1} = 3.4 \text{ Kw}$$

المرحلة الثانية :

$$W_{E2} = 3.3 \text{ Kw}$$

الخرج الميكانيكي للموتور :

المرحلة الأولى :

$$W_{m1} = 3.2 \text{ Kw}$$

المرحلة الثانية :

$$W_{m2} = 2.9 \text{ Kw}$$

قدرة الدخل للضاغط :

المرحلة الأولى :

$$W_1 = 3.1 \text{ Kw}$$

المرحلة الثانية :

$$W_2 = 2.8 \text{ Kw}$$

كمية الهواء المسحوب عبر التقب حاد الحافة :

$$d_o = 30 \text{ mm}$$

$$h_o = 17.3 \text{ mm}$$

$$T_A = 309 \text{ k}$$

$$P_A = 101.3 \text{ KN/m}^2$$

$$m_o = 2.6 * 10^{-6} \text{ Kg/s}$$

كمية الهواء المغادر عبر فوهة الISA :

$$d_n = 25 \text{ mm}$$

$$h_n = 13.3 \text{ mm}$$

$$T_7 = 314 \text{ K}$$

$$P_3 = 1200 \text{ KN/m}^2$$

$$m_n = 2.6 * 10^{-6} \text{ Kg/s}$$

أس الأنضغاط :

المرحلة الأولى :

$$n = 1.6$$

المرحلة الثانية :

$$n = 1.2$$

الشغل البياني النظري :

المرحلة الأولى :

$$\bar{W}_1 = 1.6 \text{ Kw}$$

المرحلة الثانية :

$$\bar{W}_2 = 2.5 \text{ Kw}$$

فقد الحرارة :

المرحلة الأولى :

$$Q_1 = -0.52 \text{ Kw}$$

المرحلة الثانية :

$$Q_3 = 1.02 \text{ Kw}$$

فقد الحرارة بين المراحل :

بين المرحلة الأولى و الثانية :

$$Q_2 = 0.76 \text{ Kw}$$

بين المرحلة الثانية و المستودع :

$$Q_4 = 2.7 \text{ Kw}$$

زيادة المحتوى الحراري الاجمالي للهواء :

$$Q_5 = 0.13 \text{ Kw}$$

كمية الحرارة المكتسبة بواسطة الماء في المبرد البعدي :

$$Q_7 = 0.89 \text{ Kw}$$

الكفاءات :

ثابت درجة الحرارة البيانية :

$$\eta_{iso} = 70.7\%$$

ثابت درجة الحرارة الأجمالية :

$$\eta_{iso(o/A)} = 43.3\%$$

الميكانيكية لضغط المرحلة الأولى :

(22)

أس الأنضغاط :

المرحلة الأولى :

$$n = 1.6$$

المرحلة الثانية :

$$n = 1.2$$

الشغل البياني النظري :

المرحلة الأولى :

$$\bar{W}_1 = 1.6 \text{ Kw}$$

المرحلة الثانية :

$$\bar{W}_2 = 2.5 \text{ Kw}$$

فقد الحرارة :

المرحلة الأولى :

$$Q_1 = -0.52 \text{ Kw}$$

المرحلة الثانية :

$$Q_3 = 1.02 \text{ Kw}$$

فقد الحرارة بين المراحل :

بين المرحلة الأولى و الثانية :

$$Q_2 = -0.76 \text{ Kw}$$

بين المرحلة الثانية و المستودع :

$$Q_4 = 2.7 \text{ Kw}$$

زيادة المحتوى الحراري الاجمالي للهواء :

$$Q_5 = 0.13 \text{ Kw}$$

كمية الحرارة المكتسبة بواسطة الماء في المبرد البعدي :

$$Q_7 = 0.89 \text{ Kw}$$

الكفاءات :

ثابت درجة الحرارة البيانية :

$$\eta_{iso} = 70.7\%$$

ثابت درجة الحرارة الأجمالية :

$$\eta_{iso(o/A)} = 43.3\%$$

الميكانيكية لضغط المرحلة الأولى :

(22)

$$\begin{aligned}d_n &= 25 \text{ mm} \\h_n &= 15.7 \text{ mm} \\T_7 &= 310.7 \text{ K} \\P_3 &= 1200 \text{ KN/m}^2 \\m_n &= 2.8 \cdot 10^{-6} \text{ Kg/s}\end{aligned}$$

$$n = 1.7$$

أس الأنضغاط :

المرحلة الأولى :

$$n = 1.3$$

المرحلة الثانية :

$$\bar{W}_1 = 1.4 \text{ Kw}$$

الشغل البياني النظري :

المرحلة الأولى :

$$\bar{W}_2 = 2.5 \text{ Kw}$$

المرحلة الثانية :

$$Q_1 = -0.55 \text{ Kw}$$

فقد الحرارة :

المرحلة الأولى :

$$Q_3 = 0.46 \text{ Kw}$$

المرحلة الثانية :

$$Q_2 = 1.8 \text{ Kw}$$

فقد الحرارة بين المراحل :

بين المرحلة الأولى و الثانية :

$$Q_4 = 2.05 \text{ Kw}$$

بين المرحلة الثانية و المستودع :

$$Q_5 = 0.12 \text{ Kw}$$

زيادة المحتوى الحراري الاجمالي للهواء :

$$Q_6 = 0.7 \text{ Kw}$$

كمية الحرارة المكتسبة بواسطة الماء في المبرد البيئي :

$$Q_7 = 0.56 \text{ Kw}$$

كمية الحرارة المكتسبة بواسطة الماء في المبرد البعدي :

الكفاءات :

ثابت درجة الحرارة البيانية :

$$\eta_{\text{iso}} = 74\%$$

ثابت درجة الحرارة الأجمالية :

$$\eta_{\text{iso(o/A)}} = 46.8\%$$

الميكانيكية لضغط المرحلة الأولى :

$$\eta_{\text{mech/comp1}} = 52\%$$

الميكانيكية لضغط المرحلة الثانية :

$$\eta_{\text{mech/comp2}} = 89.3\%$$

الميكانيكية لموتور المرحلة الأولى :

$$\eta_{\text{mech/Dyn1}} = 96.6\%$$

الميكانيكية لموتور المرحلة الثانية :

$$\eta_{\text{mech/Dyn2}} = 87.9\%$$

الضغط البيئي الأفضل للحصول على كفاءة قصوي :

$$\bar{P}_2 = 348.7 \text{ KN/m}^2$$

5-0 عينة من الحسابات : Sample of calculations

5-1 ضاغط ذو مرحلتين بتبريد بيني وبعدي : Two st. comp. With inter& after cooling

تم اختيار هذا الوضع لأخذه كنموذج للحسابات للحصول على معاملات الأداء للجهاز .
وقد تم أخذ القراءات كما هو موضح في الجدول رقم (4) في ملحق الجداول تم أخذ
متوسط القراءات كما موضح بالصف رقم(4) في الجدول .
الضغط عند مدخل الضاغط الأول :

$$P_1 = P_A - p_{h_0}$$

$$P_1 = 101.3 * 10^3 - 1.23 * 9.81 * 19 * 10^{-3} = 101.3 \text{ KN/m}^2$$

المعدل الكتلي للهواء :

$$\begin{aligned} m' &= P_1 V' / RT_1 \\ &= 101.3 * 0.7 / 0.287 * 310.7 * 60 = 0.0133 \text{ Kg/s} \end{aligned}$$

الشغل ثابت درجة الحرارة :

$$\begin{aligned} W_{iso} &= m' RT_1 \ln P_3 / P_1 \\ &= 0.0133 * 0.287 * 310.7 \ln 1200 / 101.3 = 2.9 \text{ Kw} \end{aligned}$$

أس الانضغاط لضغط المرحلة الأولى :

$$\begin{aligned} T_2 / T_1 &= (P_2 / P_1)^{n-1/n} \\ 456.7 / 310.7 &= (250 / 101.3)^{n-1/n} \\ \ln 456.7 / 310.7 &= (n-1/n) \ln (250 / 101.3) \end{aligned}$$

$$n = 1.7$$

الشغل البياني النظري لضغط المرحلة الأولى :

$$\begin{aligned} \bar{W}_1 &= m' n / n - 1 R (T_2 - T_1) \\ &= 0.0133 * 1.7 / 0.7 * 0.287 (456.7 - 310.7) = 1.4 \text{ Kw} \end{aligned}$$

فقد الحرارة حول إسطوانة الضاغط الأول :

$$\begin{aligned} Q_1 &= \bar{W}_1 - m' C_p (T_2 - T_1) \\ &= 1.4 - 0.0133 * 1.005 (456.7 - 310.7) = -0.55 \text{ Kw} \end{aligned}$$

فقد الحرارة بين المرحلة الأولى والثانية :

$$\begin{aligned} Q_2 &= m' C_p (T_2 - T_3) \\ &= 0.0133 * 1.005 (456.7 - 318.7) = 1.8 \text{ Kw} \end{aligned}$$

أس الإنضغاط لضغط المرحلة الثانية :

$$T_4/T_3 = (P_3/P_2)^{n-1/n}$$

$$471/318.7 = (1200/250)^{n-1/n}$$

$$\ln 471/318.7 = (n-1/n) \ln (1200/250)$$

$$n = 1.3$$

الشغل البياني النظري لضغط المرحلة الثانية:

$$\bar{W}_2 = m \cdot n/n-1 R(T_4-T_3)$$

$$= 0.0133 * 1.3/0.3 * 0.287(471-318.7) = 2.5 \text{ Kw}$$

فقد الحرارة حول إسطوانة الضغوط الثاني:

$$Q_3 = \bar{W}_2 - m \cdot C_p(T_4-T_3)$$

$$= 2.5 - 0.0133 * 1.005(471-318.7) = 0.46 \text{ Kw}$$

فقد الحرارة بين المرحلة الثانية والمستودع :

$$Q_4 = m \cdot C_p(T_4-T_5)$$

$$= 0.0133 * 1.005(471-317.7) = 2.05 \text{ Kw}$$

زيادة المحتوى الحراري الإجمالي للهواء :

$$Q_5 = m \cdot C_p(T_5-T_A)$$

$$= 0.0133 * 1.005(317.7-309) = 0.12 \text{ Kw}$$

الدخل الكهربائي لموتور المرحلة الأولى :

$$W_{E1} = 2.9 \text{ Kw}$$

(قراءة مباشرة)

الدخل الكهربائي لموتور المرحلة الثانية :

$$W_{E2} = IE = 225 * 14.5$$

الخرج الميكانيكي لموتور المرحلة الأولى :

$$W_{m1} = F_1 N_1 / K$$

$$K = 43.41$$

(ثابت الموتور)

$$W_{m1} = 82 * 1500 / 43.41 = 2.8 \text{ Kw}$$

الخرج الميكانيكي لموتور المرحلة الثانية :

$$W_{m2} = F_2 N_2 / K$$

$$= 85 * 1500 / 43.41 = 2.9 \text{ Kw}$$

الدخل الميكانيكي لضغط المرحلة الأولى :

$$W_1 = 0.98 W_{m1} = 0.98 * 2.8 = 2.7 \text{ Kw}$$

الدخل الميكانيكي لضغط المرحلة الثانية :

$$W_2 = 0.98 W_{m2} = 0.98 * 2.9 = 2.8 \text{ Kw}$$

كمية الحرارة المكتسبة بواسطة الماء في المبرد البيئي :

$$Q_6 = 4187_{m1} (T_9 - T_8) \\ = 4187 * 7.3 * 10^{-6} (329 - 306) = 0.7 \text{ Kw}$$

كمية الحرارة المكتسبة بواسطة الماء في المبرد البعدي :

$$Q_7 = 4187_{m2} (T_{10} - T_8) \\ = 4187 * 7.8 * 10^{-6} (323 - 306) = 0.56 \text{ Kw}$$

المعدل الكتلي للهواء المسحوب :

$$m_o = 0.001232 d_o^2 \sqrt{h_o P_A / T_A} \\ = 0.001232 * 0.03^2 \sqrt{19 * 101.3 / 309} = 2.8 * 10^{-6} \text{ Kg/s}$$

المعدل الكتلي للهواء المغادر :

$$m_n = 0.00020102 d_n^2 \sqrt{h_n P_A / T_7} \\ m_n = 0.00020102 * 0.025^2 \sqrt{15.7 * 101.3 / 310.7} = 2.8 * 10^{-6} \text{ Kg/s}$$

كفاءة ثابت درجة الحرارة البيانية :

$$\eta_{iso} = W_{iso} / \bar{W}_1 + \bar{W}_2 = 2.9 / 1.4 + 2.5 = 74\%$$

كفاءة ثابت درجة الحرارة الإجمالية :

$$\eta_{iso(O/A)} = W_{iso} / W_{E1} + W_{E2} \\ = 2.9 / 2.9 + 3.3 = 46.8\%$$

الكفاءة الميكانيكية لضغط المرحلة الأولى :

$$\eta_{mech / comp 1} = \bar{W}_1 / W_1 \\ = 1.4 / 2.7 = 52\%$$

الكفاءة الميكانيكية لضغط المرحلة الثانية :

$$\eta_{mech / comp 2} = W_2 / W_2 \\ = 2.5 / 2.8 = 89.3\%$$

الكفاءة الميكانيكية لموتور المرحلة الأولى :

$$\eta_{mech / Dyn 1} = W_{m1} / W_{E1} \\ = 2.8 / 2.9 = 96.6\%$$

الكفاءة الميكانيكية لموتور المرحلة الثانية :

$$\eta_{mech / Dyn 2} = W_{m2} / W_{E2} \\ = 2.9 / 3.3 = 87.9\%$$

الضغط البيئي الأفضل للحصول علي كفاءة قصوي :

$$\bar{P}_2 = \sqrt{P_1 P_3} = \sqrt{101.3 * 1200} = 348.7 \text{ KN/m}^2$$

الفصل السادس

6-0 تحليل النتائج المختبرية :-

بالنظر إلى كمية الحرارة المفقودة وإذا تمت المقارنة بين الوضع الرابع وهو وجود المبردين البيني والبعدى بالدائرة من ناحية والوضعين الثاني والثالث وهما وجود المبردين البيني والمبرد البعدى على التوالي من ناحية أخرى . نلاحظ تقارب كمية الحرارة المفقودة بين المرحلة الأولى والمرحلة الثانية في الوضعين الثاني والرابع وايضاً تقارب كمية الحرارة المفقودة بين المرحلة الثانية والمستودع في الوضعين الثالث والرابع مما يدل على أن المبردات تعمل بصورة جيدة . ونلاحظ أيضاً تناقص قيمة المحتوى الحراري الإجمالي للهواء تدريجياً بدخول المبردات إلى الدائرة حيث نجد أن أعلى قيمة له في الوضع الأول بدون تبريد وأقل قيمة له في الوضع الرابع بوجود المبردين .

ومن الملاحظ أيضاً أن كمية الهواء المسحوب عبر الثقب حاد الحافة وكمية الهواء المغادر عبر فوهة الـ I.S.A متساوية تقريباً في كل الأوضاع وهذا ناتج من الضبط الجيد لصمام تصريف الهواء الموجود في المستودع .

نلاحظ أنه تم الحصول على نتائج مقارنة في كل الأوضاع بالنسبة للشغل ثابت درجة الحرارة وذلك ناتج من ثبوت معظم القيم التي تم تعويضها في المعادلة التي يحسب منها . فمثلاً نجد أن الضغط الداخلى للضاغط الأول متساوي في كل الأوضاع وكذلك ضغط التصريف مع ثبوت ثابت الهواء ومعدل انسياب الهواء ، والتغير الوحيد يوجد في درجة الحرارة عند مدخل الضاغط الأول لكل وضع والتي عادة ما تكون أقرب لدرجة حرارة الغرفة لذلك فإن الاختلاف فيها طفيف جداً .

إذا نظرنا إلى القيم المأخوذة مباشرة من الواطميتير والحسابات للدخل الكهربائي نلاحظ

الآتي :-

- في الوضع الأول ضاغط ذو مرحلتين بدون تبريد نجد أن الدخل الكهربائي للمرحلة الأولى أكبر من الدخل الكهربائي للمرحلة الثانية . وأيضاً ينطبق هذا القول على الوضع الثالث ضاغط ذو مرحلتين بتبريد بعدى .

- أما في الوضع الثاني (ضاغط ذو مرحلتين بتبريد بييني) والوضع الرابع (ضاغط ذو مرحلتين بتبريد بييني وبعدي) فنجد العكس تماماً أي أن الدخل الكهربائي للمرحلة الثانية أكبر من الدخل الكهربائي للمرحلة الأولى .

وأما إذا نظرنا إلى الدخل الكهربائي للمرحلة الأولى في كل الأوضاع نجده ينقص من الوضع الأول إلى الوضع الثاني ثم يزداد عند الوضع الثالث ، وينقص مرة أخرى عند الوضع الرابع .

وإذا نظرنا للدخل الكهربائي للمرحلة الثانية في كل الأوضاع أيضاً نجد أنه ينقص من الوضع الأول إلى الوضع الثاني ثم يزداد عند الوضع الثالث ويثبت كما كان عليه الوضع الثالث عند الوضع الرابع . وهنا نستنتج أن لدرجات الحرارة تأثير على الدخل الكهربائي بزيادة في التحميل أي زيادة التيار الكهربائي ، وبوجود التبريد تنقص درجات الحرارة وبالتالي ينقص الدخل الكهربائي .

بالنظر إلى قيم الخرج الميكانيكي للموتور المأخوذة من حسابات المعادلات نلاحظ عليها الآتي :-

- الخرج الميكانيكي للموتور للمرحلة الأولى أقل من الخرج الميكانيكي للموتور للمرحلة الثانية للوضع الأول (ضاغط ذو مرحلتين بدون تبريد) والوضع الرابع (ضاغط ذو مرحلتين تبريد بيني وبعدي) .
- أما الوضعين الآخرين فنجد العكس تماماً .
- وإذا نظرنا إلى قيم الخرج الميكانيكي للموتور للمرحلة الأولى في كل الأوضاع نلاحظ أنه ينقص من الوضع الأول إلى الوضع الثاني ثم يزداد عند الوضع الثالث وينقص في الوضع الرابع .
- أما إذا نظرنا إلى قيم الخرج الميكانيكي للموتور للمرحلة الثانية في كل الأوضاع نلاحظ أنه ينقص من الوضع الأول إلى الوضع الثاني ثم يثبت كما كان عليه في الوضع الثاني عند الوضع الثالث والرابع .
- ويعزى هذا التباين في قيم الخرج الميكانيكي للموتور لارتباطه بالدخل الكهربائي في معادلات الحسابات والذي كما أسلفنا الذكر أنه يؤثر عليه درجات الحرارة .
- بالنظر إلى قيم قدرة الدخل للضاغط المأخوذة من حسابات المعادلات نلاحظ الآتي :-
- قدرة الدخل للضاغط في المرحلة الأولى أكبر من قدرة الدخل للضاغط في المرحلة الثانية وذلك في الوضع الأول والوضع الثاني والوضع الثالث ، أما الوضع الرابع فنجد العكس تماماً .
- أما إذا نظرنا إلى قيم قدرة الدخل للضاغط للمرحلة الأولى في كل الأوضاع نلاحظ أنها تنقص من الوضع الأول إلى الوضع الثاني ثم تزداد عند الوضع الثالث وتنقص مره أخرى عند الوضع الرابع .
- وإذا نظرنا إلى قيم قدرة الدخل للضاغط للمرحلة الثانية في كل الأوضاع نلاحظ أنها تنقص من الوضع الأول إلى الوضع الثاني ثم تثبت كما كانت عليه في الوضع الثاني عند الوضعين الثالث والرابع .

ويعزى هذا التباين في قيم قدرة الدخل للضاغط لأنها مرتبطة بالخرج الميكانيكي للموتور والذي هو أيضاً مرتبط بالدخل الكهربائي في معادلات الحسابات .

بالنظر إلى قيم الكفاءات نلاحظ الأتي :-

- عند الوضع الأول نلاحظ انخفاض نسبي في الكفاءات وذلك لعزل دائرتي التبريد من الوحدة مما نتج عنه ارتفاع ملحوظ في درجات الحرارة وبالتالي انخفاض في الكفاءات .
 - أما عند الوضع الثاني (وجود المبرد البيئي ضمن الوحدة) نلاحظ ارتفاع نسبي في الكفاءات مقارنة بالوضع الأول وذلك لمحافظة المبرد البيئي لدرجات الحرارة بين المرحلتين .
 - وعند الوضع الثالث (وجود المبرد البعدي ضمن الوحدة) نلاحظ أن قيم الكفاءات تنخفض مقارنة بالوضع الثاني وترتفع مقارنة بالوضع الأول .
 - وأما عند الوضع الرابع (وجود المبردين ضمن الوحدة) نلاحظ أن قيم الكفاءات ترتفع مقارنة بالأوضاع الثلاثة السابقة وذلك يعزى لدخول دائرتي التبريد ضمن الوحدة وبالتالي مما يحدث استقرار لدرجات الحرارة بين المراحل .
- ومن هنا نستنتج أن لدرجات الحرارة تأثير واضح على قيم الكفاءات .

الفصل السابع

7-1 توصيات :-

- من خلال القيام بعمل الاختبارات على الجهاز تم الحصول على بعض الملاحظات التي يمكن أن تؤدي إلى بعض القصور في عمل الجهاز على الوجه الأكمل لذلك نوصي :
1. توفير راسمتين بيانيتين وذلك للحصول على المخططات البيانية واستخراج البيانات منها ومقارنتها مع تلك التي تم الحصول عليها من المعادلات الحسابية .
 2. تثبيت الثيرموترات في أماكنها المخصصة لها على الجهاز بصورة دائمة وذلك لحمايتها من الكسر .
 3. مراعاة القيام بالاختبارات دفعة واحدة وعدم توزيعها على فترات زمنية متباعدة وذلك لضمان أن الجهاز وصل إلى حالة استقرار مناسبة وبالتالي الحصول على قراءات صحيحة لمعاملات الأداء .
 4. تغيير خط التبريد الداخلى للجهاز إلى مواسير قلفنايز وذلك لان الخط الحالي يتكون من خرطيش وبها تسريب للمياه .
 5. استخدام تاكوميتر يدوى لعدم وجود جهاز قياس السرعة الخاص بالوحدة .

7-2 خاتمة :-

نتمنى أن نكون قد وفقنا في إتمام هذا المشروع وتجهيز الوحدة بحيث يسهل استخدامها والاستفادة منها بصورة مرضية . وأن يكون تقريرنا هذا وافياً بالقدر المطلوب للاستفادة منه كدليل لاستخدام الوحدة .
وفي الختام نسأل المولى عز وجل أن يكون عوناً لنا في تقديم مايمكن من تعميم الفائدة للجميع .

والله ولي التوفيق ::::

ملحق الأول

	Air Pressure (kN/m ²)		Air Temperature (°C)							1st. Stage Dynamometer		2nd. Stage Dynamometer			Pressure difference (mm)		Water temperature (°C)			Water flow (mm)				
	P ₂	P ₃	T ₁	T ₂	T ₃	T ₄	T ₅	T ₆	T ₇	M ₁ (kg)	F ₁ (N)	P (kg)	M ₂ (kg)	F ₂ (N)	I (A)	E (V)	h _a	h _b	T ₈	T ₉	T ₁₀	m ₁	m ₂	
1-	235	1200	32	35	174	120	228	152	43	38	1500	90	4	1500	90	15	225	13.5	10					
2-	235	1200	32	35	176	124	235	158	44	40	1500	90	4	1500	90	15	225	13.5	9.5					
3-	235	1200	32	36	179	126	239	151	47	42	1500	90	4	1500	90	15	225	13.5	7.5					
4-	235	1200	32	35.3	176.3	123.3	234.3	157	44.7	40	1500	90	4	1500	90	15	225	13.5	9					

جداول (1, 2, 3)
 كذا مع جدول 3

Air Pressure (KN/m ²)	Air Temperature (°C)							1st. Stage Dynamometer		2nd. Stage Dynamometer			Pressure difference (mm)		Water temperature (°C)		Water flow L/min						
	P ₂	P ₃	T _A	T ₁	T ₂	T ₃	T ₄	T ₅	T ₆	T ₇	M ₁ (kg)	F ₁ (N)	M ₂ (kg)	F ₂ (N)	I (A)	E (V)	h _o	h _n	T ₈	T ₉	T ₁₀	m ₁	m ₂
1- 250	1200	35	36	186	44	191	133	52	46	1500	85	3	1500	85	13.5	225	18.5	16	34	55		0.6	
2- 250	1200	35	37	182	46	185	136	53	47	1500	85	3	1500	85	13.5	225	19.5	15.5	34	55		0.6	
3- 250	1200	35	37	181	48	184	138	53	47	1500	85	3	1500	85	13.5	225	19.5	13.5	34	56		0.4	
4- 250	1200	35	36.7	183	46	182.7	135.7	52.7	46.7	1500	85	3	1500	85	13.5	225	19.2	15	34	55.3		0.52	

جدول رقم (2)

ضماناً في مرحلة التجربة

Air Pressure (kN/m ²)	Air Temperature (°C)							1st. Stage Dynamometer		2nd. Stage Dynamometer			Pressure difference (mm)		Water temperature (°C)		Water flow L/min						
	P ₂	P ₃	T ₁	T ₂	T ₃	T ₄	T ₅	T ₆	T ₇	M ₁ (kg)	F ₁ (N)	P (kg)	M ₂ (kg)	F ₂ (N)	I (A)	E (V)	h _o	h _n	T ₈	T ₉	T ₁₀	m ₁	m ₂
300	1200	36	37	192	137	248	46	47	42	1500	93	3.4	1500	85	14.5	225	17.5	12	33	50	54	0.75	0.6
300	1200	36	37	198	140	251	46	46	41	1500	93	3.4	1500	85	14.5	225	17.5	14.5	33	54	54	0.6	0.6
300	1200	36	38	198	141	252	46	45	40	1500	93	3.4	1500	85	14.5	225	17	13.5	33	57	57	0.44	0.6
300	1200	36	37.3	196	139.3	250.3	46	46	41	1500	93	3.4	1500	85	14.5	225	17.3	13.3	33	54.3	54.3	0.6	0.6

(3) جدول

... (5) جدول

Air Pressure (kN/m ²)	Air Temperature (°C)							1st Stage Dynamometer			2nd Stage Dynamometer			Pressure difference (mm)		Water Temperature (°C)		Water Flow (L/min)						
	P ₂	P ₃	T ₁	T ₂	T ₃	T ₄	T ₅	T ₆	T ₇	M ₁ (kg)	F ₁ (N)	P (kg)	M ₂ (kg)	F ₂ (N)	I (A)	E (V)	h _o	h _n	T ₈	T ₉	T ₁₀	m ₁	m ₂	
1-	250	1200	36	38	186	48	201	43	42	38	1500	82	2.9	1500	85	14.5	225	19	15.7	33	56	49	0.46	0.51
2-	250	1200	36	37	183	43	198	46	45	38	1500	82	2.9	1500	85	14.5	225	19	15.5	33	56	50	0.44	0.46
3-	250	1200	36	38	182	46	195	46	40	37	1500	82	2.9	1500	85	14.5	225	19	16.5	33	56	51	0.43	0.44
4-	250	1200	36	37.7	183.7	45.7	198	44.7	40.7	37.7	1500	82	2.9	1500	85	14.5	225	19	15.7	33	56	50	0.44	0.47

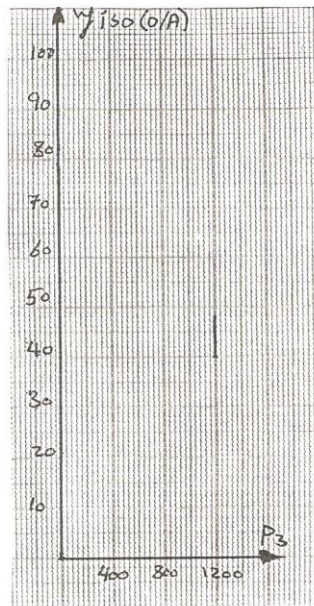
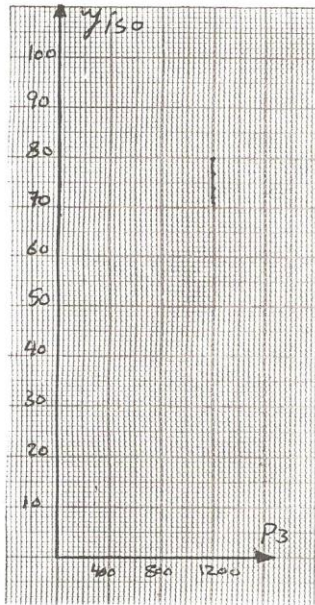
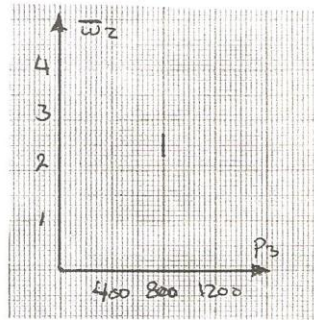
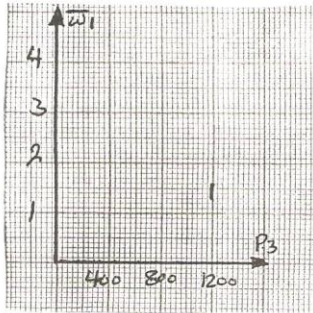
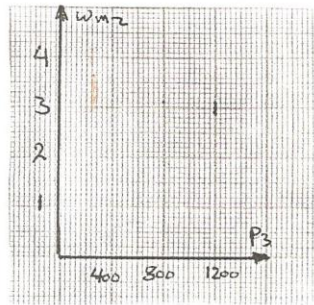
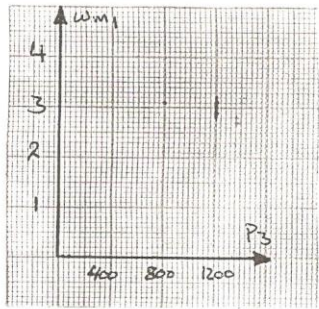
جدول رقم (4)
 نتائج تجربة تأثير سرعة
 ضاغط نو على سرعة تدفق المياه

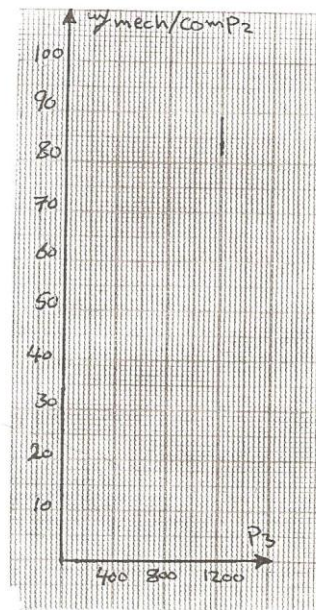
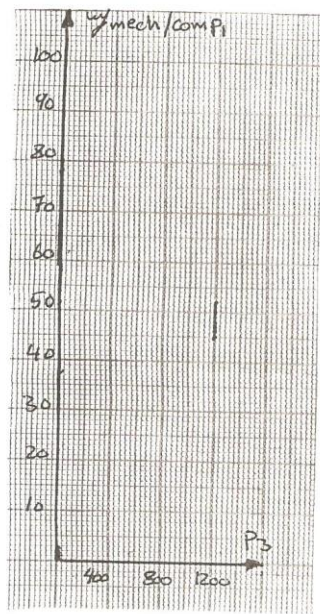
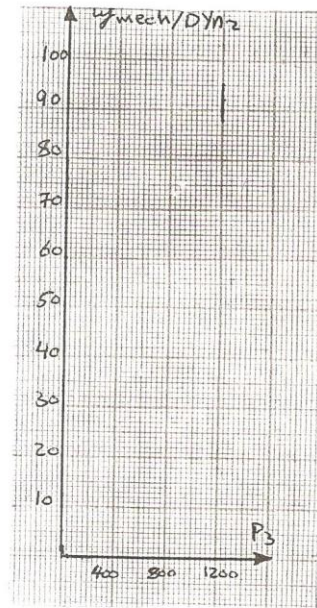
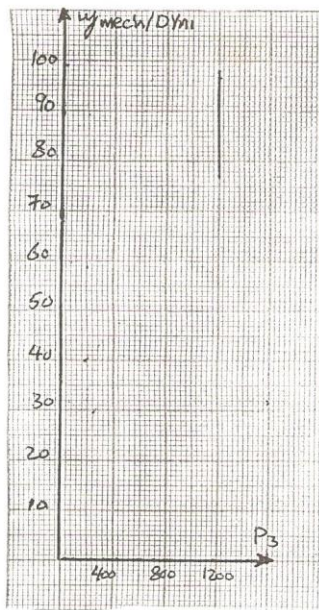
ملحق الرسومات الهندسية

الرسومات الهندسية

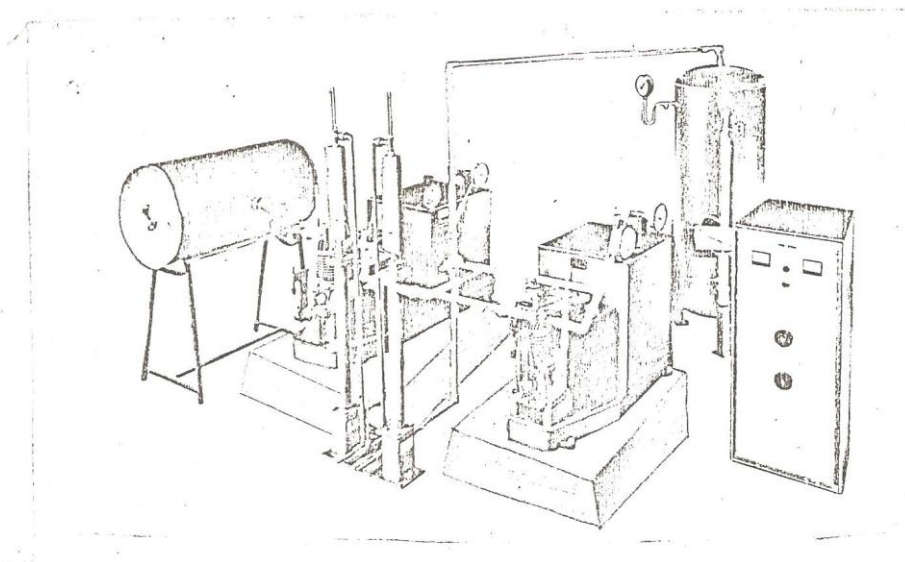
الرسومات الهندسية

الرسومات الهندسية



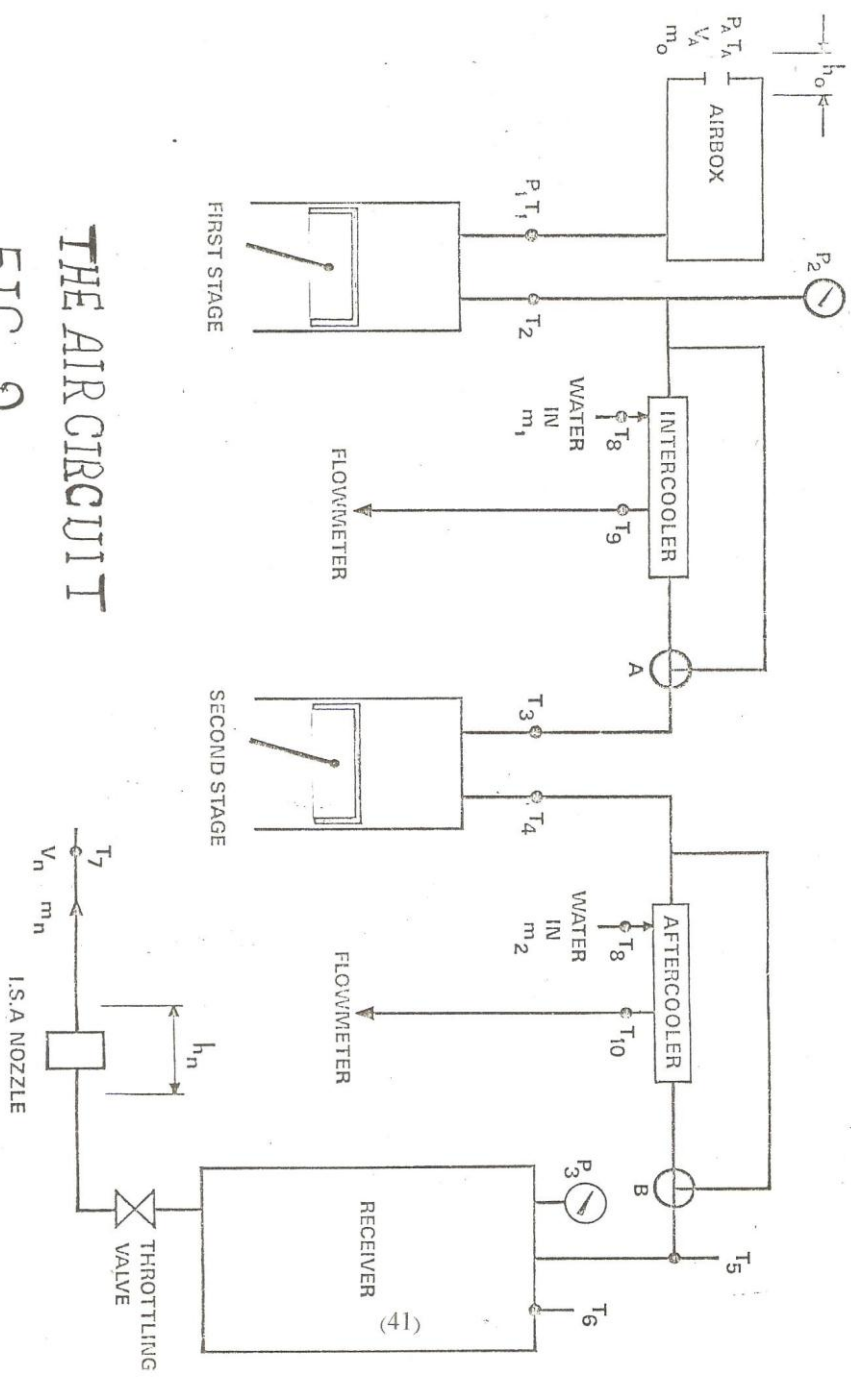


ملحق الرسومات التوضيحية

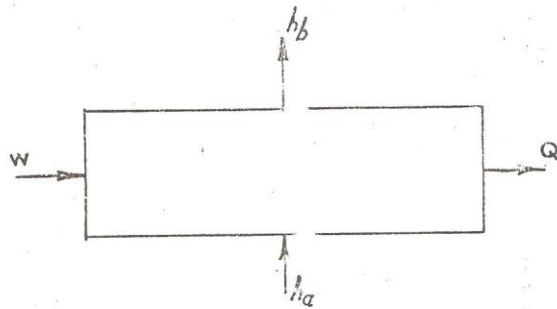


TWO STAGE AIR COMPRESSOR TEST SET

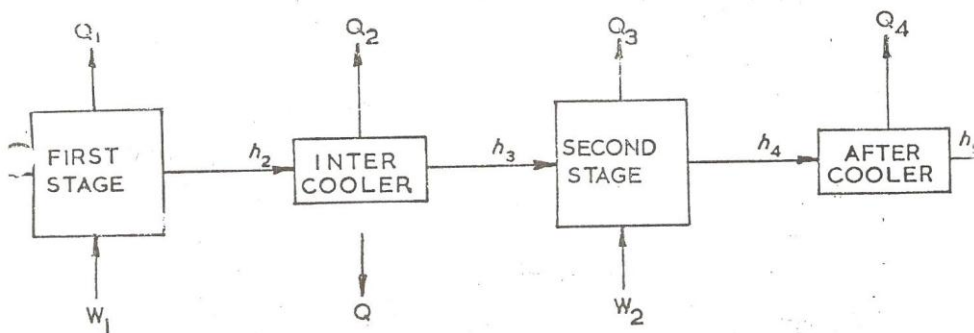
FIG.1



THE AIRCIRCUIT
FIG. 2



(a) SIMPLIFIED



(b) TWO STAGE COMPRESSION

THERMODYNAMIC SYSTEMS

FIG. 3

References

المراجع

1\ Engineering Thermodynamic

By: D.B.Spalding & E.H.Cole

2\ Applied Thermodynamic

By: R.S.Khurmi

3\

النيرموديناميكا الحرارية

تأليف : فلاديمير ناشوكين